

峨眉山玄武岩的输送通道：云南元谋朱布岩体

朱丹^{1,2}, 徐义刚², 宋谢炎¹, 罗泰义¹, 陶琰¹,
黄智龙¹, 朱成明³, 蔡恩照³, 凌荣祥²

1. 中国科学院地球化学研究所 矿床地球化学国家重点实验室, 贵阳 550002;

2. 中国科学院广州地球化学研究所, 广州 510640; 3. 中国科学院地球化学研究所, 贵阳 550002

关键词: 朱布; 镁铁-超镁铁岩; 橄榄岩; 输送通道

地幔柱成矿系统中, 岩浆型 Cu-Ni-PGE 矿床是最重要成矿作用之一, 世界上许多重要的岩浆型 Cu-Ni-PGE 矿床的成矿岩体, 如布什维尔德、诺里尔斯克、大岩墙和 Duluth Complex 等都被认为是地幔柱岩浆活动的产物。峨眉山大火成岩省岩浆型 Cu-Ni PGE 矿化岩体广泛分布, 构成了峨眉山地幔柱成矿系统中一个非常重要的成矿系列^[1]。云南元谋地区朱布岩体是一个中型硫化物铜镍型铂钯矿床^[2], 独特的成矿模式的提出^[3], 引起了广泛的重视。不过朱布岩体成岩学、地球化学的研究还很薄弱, 需要深入。初步的研究表明朱布岩体是峨眉山玄武岩的输送通道。岩体的年龄、地质特征、地球化学特征都支持这个结论。岩体的原始岩浆属于峨眉山高钛玄武岩。

1 地质背景

朱布基性-超基性岩体呈不对称的漏斗状不完整侵入前震旦系苴林群变质岩(云英片麻岩)中。岩体辉长岩的锆石 U-Pb 年龄为 (256.0 ± 1.0) Ma^[5], 与峨眉山玄武岩年龄一致^[6]。平面呈椭圆形, 南北长 750 m, 东西宽 400 m, 已控制垂深 580 m, 尚未尖灭; 岩体北端横剖面呈“U”形, 南端呈“O”形, 中段横剖面上宽下窄, 最深部位偏于西侧, 宽不到 20 m。

岩体北、西、南三面接触带产状都很陡: 将近直立至向外倒转。其中西面大部分地段是断层接触, 断层在接触带附近通过, 仍大体可代表原接触带产状。东接触带倾向西, 浅部倾角 $50^\circ \sim 60^\circ$, 向深部逐渐变陡至直立^[4](图 1)。

岩体外接触带有一厚 1 米至数米的角岩带, 岩

石主要由斜长石、石英及少量黑云母组成, 细粒结构。内接触带有一厚 2 m 左右的混染辉长岩带, 岩石主要由辉石、斜长石及少量石英组成, 次为黑云母及钛铁矿(混染辉长岩为地质队命名)。岩体中的主要矿体边部矿体则在内接触带沿岩体呈皮壳状分布, 仅局部地区稍偏入岩体内部, 或偏入外接触带。

岩体垂直分带明显。除边部混染带和矿体外, 自上而下可分为: 辉长岩带, 辉石岩带, 橄榄辉石岩带和单辉橄榄岩带(图 1)。

2 岩石化学及地球化学特征

2.1 岩相学及矿物学

单辉橄榄岩带: 构成岩体的主体, 约占岩体体积的 2/3, 分布于岩体西侧及深部。主要为中-粗粒单辉橄榄岩, 有时出现辉橄岩、二辉橄岩及斜长橄岩。岩石主要由贵橄榄石(Fo 83~84)、普通辉石组成, 其次为古铜辉石、角闪石、黑云母及拉长石。副矿物以含铬尖晶石为特征, 尚有钛铁矿、钛磁铁矿及磁铁矿。

橄榄辉石岩带: 为单辉橄榄岩带与辉石岩带的过渡岩带, 厚度 5 m 左右。

辉石岩带: 厚 110 m, 以细粒结构为特点。岩石主要由普通辉石组成。含少量橄榄石和古铜辉石, 原生闪石、斜长石和黑云母含量少。副矿物为钛铁矿、钛磁铁矿等。普通辉石强烈阳起石化。

辉长岩带: 分为暗色和中色辉长岩带。暗色辉长岩带厚 20 m, 中-粗粒结构, 主要矿物为普通辉石和斜长石, 次有角闪石和黑云母, 副矿物有钛铁矿、磷灰石、磁铁矿和黄铁矿, 斜长石常具有带

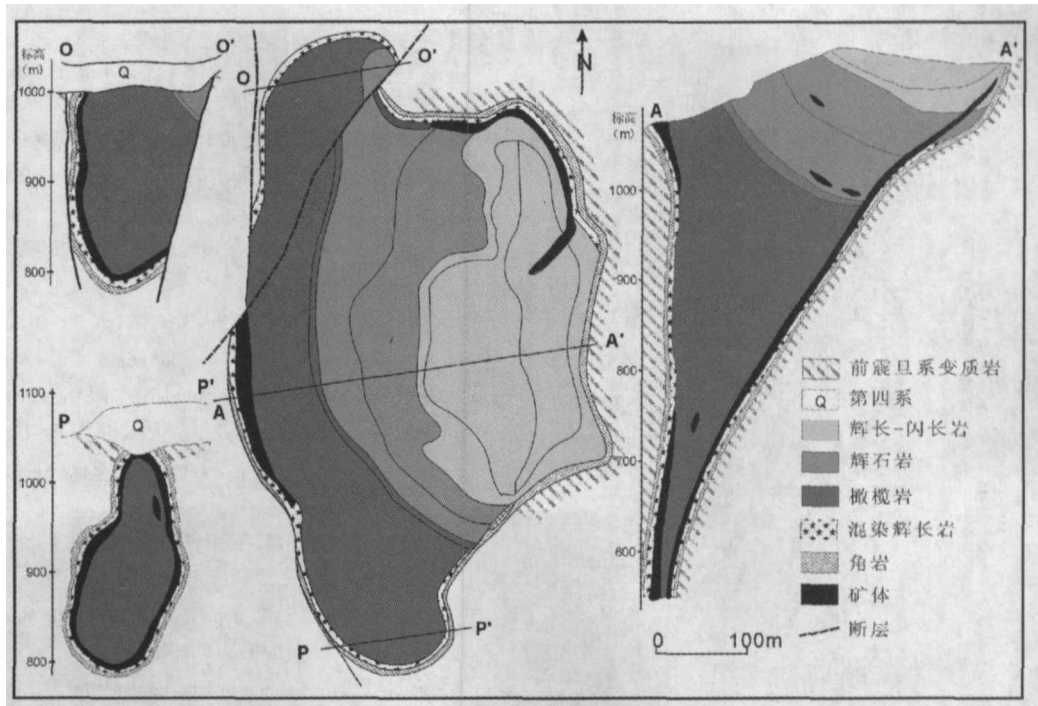


图1 朱布基性-超基性岩体地质图 (根据文献 [4], 矿体厚度经过放大)

状构造, 为钠长石和更长石。中色辉长岩带厚 40 m, 分布于岩体中段顶部, 岩性与暗色辉长岩相同, 但斜长石增加, 并含少量石英, 斜长石为中长石, 常具带状构造, 岩石近于闪长结构^[4]。

2.2 镁铁-超镁铁岩岩石化学特征

朱布橄辉岩的全岩烧失量很高, 这表明橄辉岩成岩后经历了很强的水热改造, 这与金川橄辉岩和含辉橄辉岩相似 (烧失量 > 10%)^[7]。朱布超镁铁岩均富 MgO (28% ~ 33%), 贫 K₂O 和 Na₂O, 在富镁且单斜辉石含量少的样品中这些氧化物含量非常低。由于强烈蚀变的原因, 主量元素与 MgO (或者 Mg[#]) 相关关系不是很好。但大体上 TiO₂、Al₂O₃、Na₂O 与 MgO 表现为负相关关系, 表明朱布超镁铁岩带为堆晶形成。Cr₂O₃ 与 MgO 的正相关表明橄辉石与铬尖晶石是共结相, 铬尖晶石表现为自形晶也说明了此点。SiO₂ 和 FeO 与 MgO 只有弱的负相关关系, 岩浆结晶铬尖晶石、磁铁矿等含铁矿物在橄辉石粒间的不均一性分布影响了 Fe-Mg 的相关性, 橄辉石的蛇纹石化影响了 Si-Mg 相关性。K₂O 和 CaO 与 MgO 没有表现出相关性, 表明这两种元素受后期热液改造强烈。

2.3 镁铁-超镁铁岩微量元素和铂族元素地球化学特征

朱布岩体的围岩云英片麻岩显示强亏损 Sr、Eu 和强富集 U、Th 特征。朱布岩体的岩石 (橄辉岩、辉石岩和辉长岩)、矿体 (上悬矿体和边缘矿

体) 与围岩有相同的微量元素特征, 表明岩体在整体上都受到围岩的强烈混染。而混染辉长岩和岩体附近的细晶基性岩脉的这种特征却不明显, 因此岩体边缘的边缘岩相带是围岩混染的这个结论, 还值得推敲, 需要其他机制解释^[3]。岩体附近的细晶基性岩脉 (或者岩墙) 分异不明显, 结构上表现为微晶-细晶结构。部分被岩体切割的基性岩墙代表早于岩体侵位并快速冷却固化的; 而切割岩体的代表岩体晚期发育的, 其中一些岩墙代表岩体结晶分异晚期从岩体内部部分异出来的, 也有直接从深部来的。这些穿插特征表明这些岩墙与岩体同一时代。一些岩墙本身高 MgO 或 Mg[#] (Mg[#] = 79) 特征, 可以认为它们代表朱布岩体的母岩浆, 其地球化学特征与峨眉山的高钛玄武岩相同^[8]。

朱布岩体的贵贱金属比值及 Pt/Pd 值与原始地幔接近, Cu-Ni 与 PGE 相对原始地幔没有显著分异。这与力马河和金宝山有明显区别, 与杨柳坪相似^[1], 与峨眉山玄武岩的铂族元素配分模式也相同^[9]。

3 成岩过程讨论

根据岩体大小和矿床储量 (中型铂钯矿床)^[2] 的简单质量平衡计算, 并且假设岩体母岩浆的 Pt + Pd 的初始含量为 20×10^{-9} , 矿床的形成需要至少 3000 倍现存岩体体积的岩浆参与成矿 (如果矿

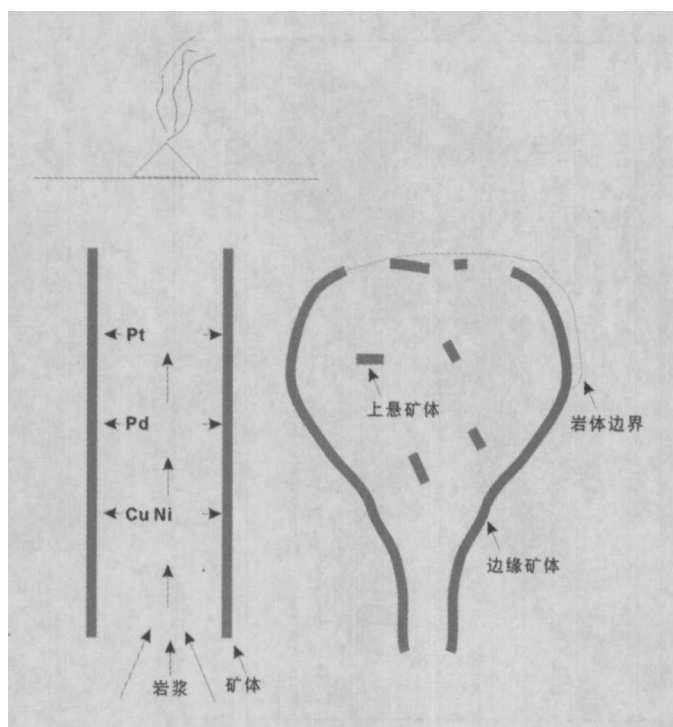


图2 朱布岩体成岩成矿模式示意图

床是由现存岩体体积的岩浆形成,则需要母岩浆的初始 Pt + Pd 的初始含量为 60×10^{-6} , 这显然不符合实际), 因此朱布岩体很可能是峨眉山玄武岩的输送通道。下面我们提出模式, 并加以讨论。

朱布岩体成岩成矿模式见图2。朱布岩体现在的位置应该是峨眉山玄武岩的输送通道, 玄武岩通过通道时, 由于 Soret 效应的作用, 通道壁的岩浆到达饱和^[3,10], 吸收通道内经过的岩浆中的铂族元素和 Cu、Ni, 形成矿体。由于某种原因, 通道封闭, 随后进入的岩浆使得原来的通道壁膨胀扩大, 大部分的通道壁变成边缘矿体。部分的边缘矿体在岩体的内部, 比如岩体东部的边缘矿体(见图1)。部分顶部的通道壁矿体破碎, 并且由于密度大的原因沉降到未完全固化的岩体内部, 形成上悬矿体, 因此上悬矿体与边缘矿体的地球化学特征相同。

参考文献:

- [1] 陶琰, 胡瑞忠, 王兴阵, 朱丹, 宋谢炎, 冯家毅. 峨眉山大火成岩省 Cu-Ni-PGE 成矿作用——几个典型矿床岩石地球化学特征的分析[J]. 矿物岩石地球化学通报, 2006, 25: 236 - 244.
- [2] 云南省地质矿产局第三地质队. 云南元谋朱布铂矿储量报告书[R]. 1970.
- [3] Dan Z, Luo T Y, Xu Y G, Tao Y, Huang Z L. Soret fractionation—a novel process for origin of the PGE mineralization in Zhubu mafic-ultramafic intrusion in SW China[C]// Recent Advances in Magmatic Ore Systems in Mafic-Ultramafic Rocks, IGCP Project 479 Field Conferences, Hong-Kong, China, 2004: 64 - 66.
- [4] 云南省地质矿产局. 云南省区域地质志[M]. 北京: 地质出版社, 1990.
- [5] Zhou M F, Malpas J, Song X Y. SHRIMP zircon geochronology of the Emeishan Large Igneous Province (SW China): implications for double mass extinction in Late Permian[C]// Eleventh Annual V M Goldschmidt Conference, Hot Springs, Virginia, USA, 2001.
- [6] He B, Xu Y G, Huang X L, Luo Z Y, Shi Y-R, Yang Q J, Yu S Y. Age and duration of the Emeishan flood volcanism, SW China: geochemistry and SHRIMP zircon U-Pb dating of silicic ignimbrites, post-volcanic Xuanwei Formation and clay tuff at the Chaotian section [J]. Earth and Planetary Science Letters, in Press.
- [7] Chai G, Naldrett A J. The Jinchuan ultramafic intrusion-cumulate of a high-Mg basaltic magma[J]. Journal of Petrology, 1992, 33: 277 - 303.
- [8] Xu Y G, Chung S L, Jahn B M, Wu G Y. Petrologic and geochemical constraints on the petrogenesis of Permian-Triassic Emeishan flood basalts in southwestern China[J]. Lithos, 2001, 58: 145 - 168.
- [9] Zhong H, Zhu W G, Qi L, Zhou M F, Song X Y, Zhang Y. Platinum-group element (PGE) geochemistry of the Emeishan basalts in the Pan-Xi area, SW China [J]. Chinese Science Bulletin, 2006, 51: 845 - 854.
- [10] 朱丹, 高振敏, 罗泰义, 徐义刚, 陶琰, 黄智龙. Soret 效应在基性-超基性岩浆成岩和成矿过程中作用的研究进展[J]. 矿物学报, 2007(待刊).